

QCDによるバリオン間相互作用

Baryon-Baryon interaction from lattice QCD
(08b-25)

青木 慎也 (筑波大学)

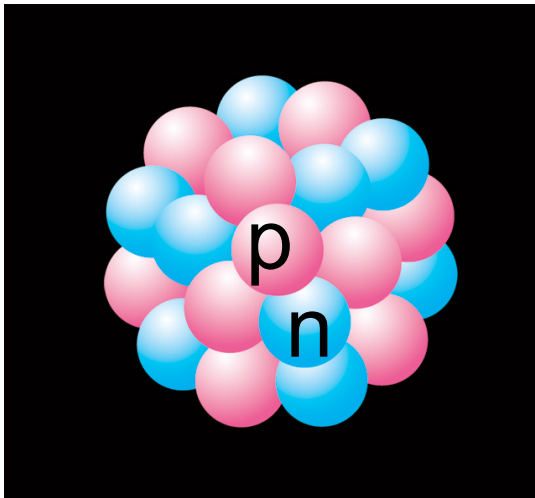
初田 哲男 (東京大学)

石井 理修 (筑波大学)

根村 英克 (理研)

村野 啓子 (筑波大学)

What binds protons and neutrons inside a nuclei ?



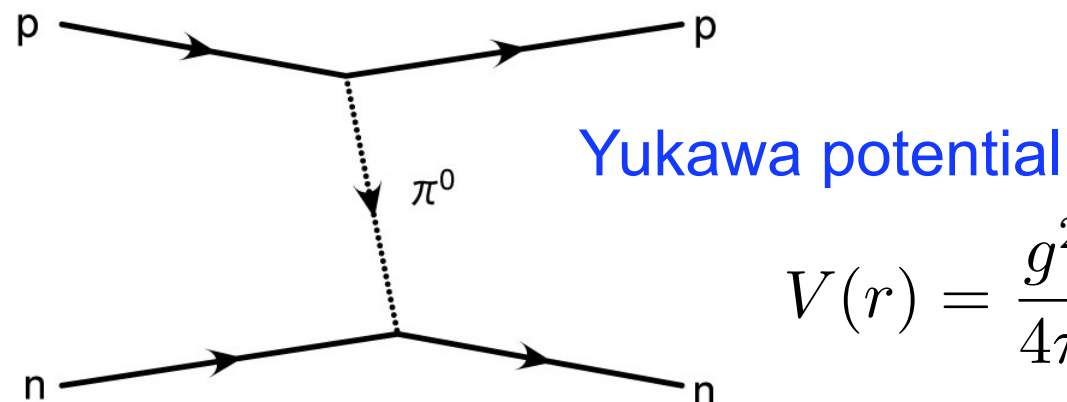
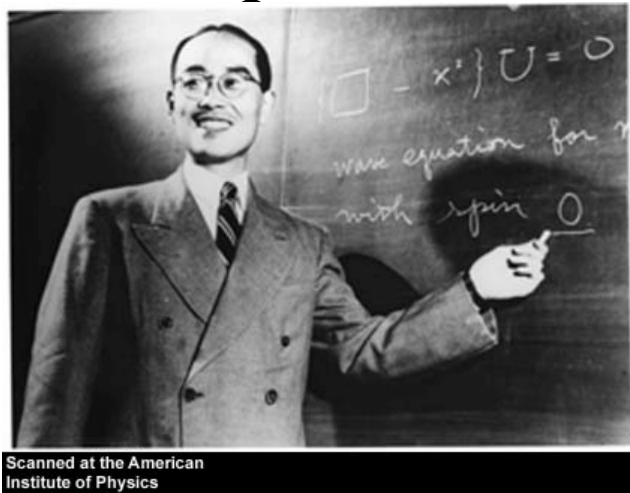
gravity: too weak

Coulomb: repulsive between pp
no force between nn, np

New force (nuclear force) ?

1935 H. Yukawa

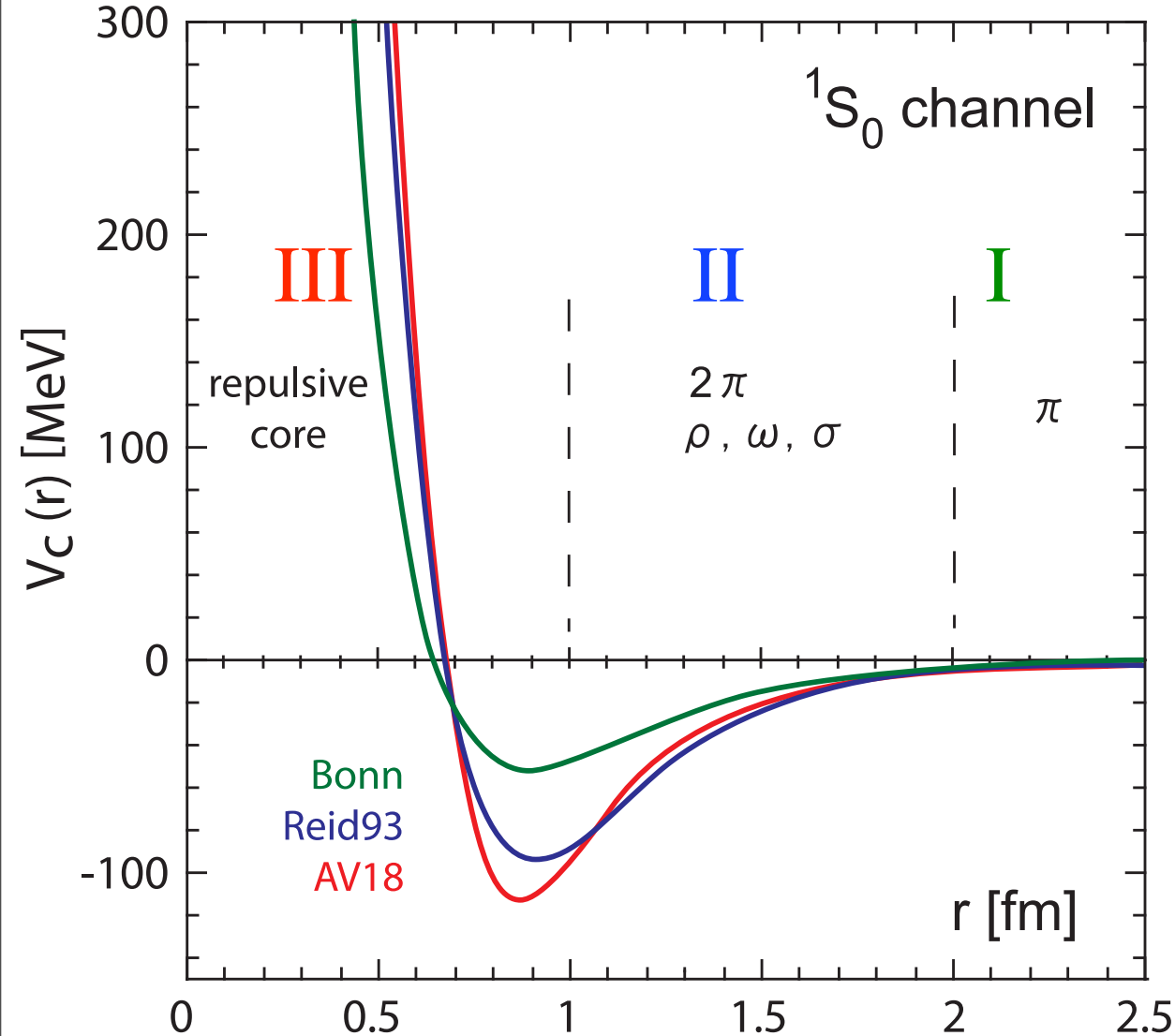
introduced virtual particles (mesons) to explain the nuclear force



$$V(r) = \frac{g^2}{4\pi} \frac{e^{-m_\pi r}}{r}$$

1949 Nobel prize

A current understanding of the nuclear potential



I Long range part
one pion exchange potential
(OPEP)

II Medium range part
 σ, ρ, ω exchange
 2π exchange

III Short range part
repulsive core (RC)
R. Jastrow(1951)
quark ?

Bonn: Machleidt, Phys.Rev. C63('01)024001

Reid93: Stoks et al., Phys. Rev. C49('94)2950.

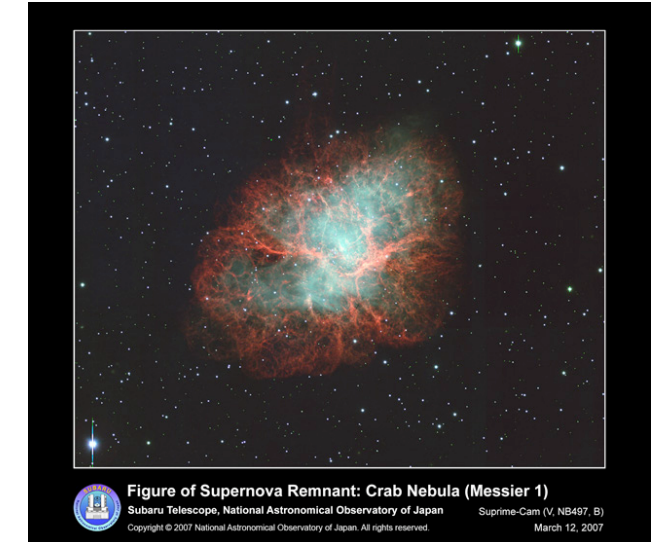
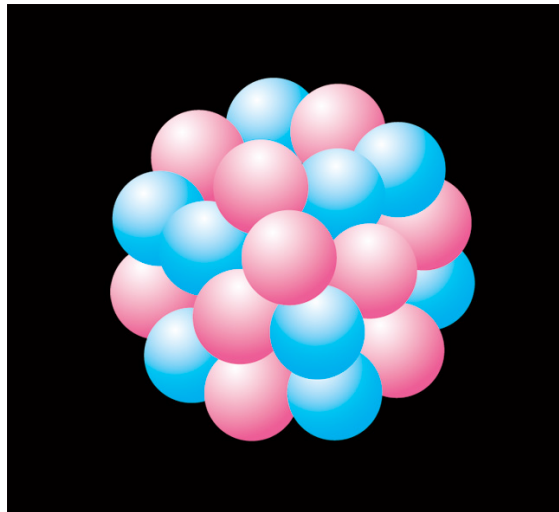
AV18: Wiringa et al., Phys.Rev. C51('95) 38.

Importance of repulsive core

stability of nuclei

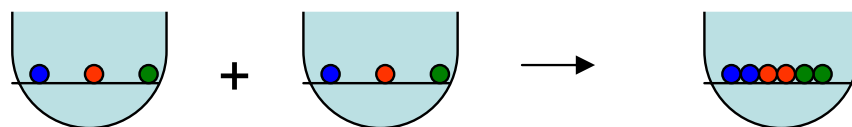
maximum mass of neutron star

explosion of type II supernova

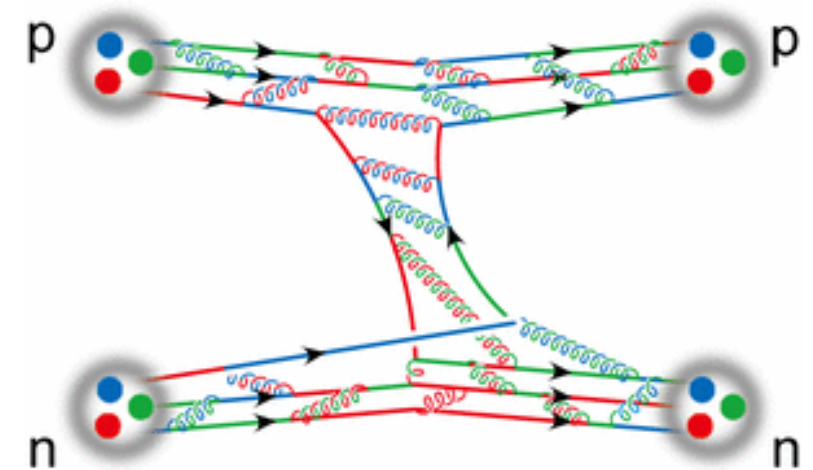


Origin of RC: “The most fundamental problem in Nuclear physics.”

Note: Pauli principle is not essential for the “RC”. p



QCD based explanation is needed.



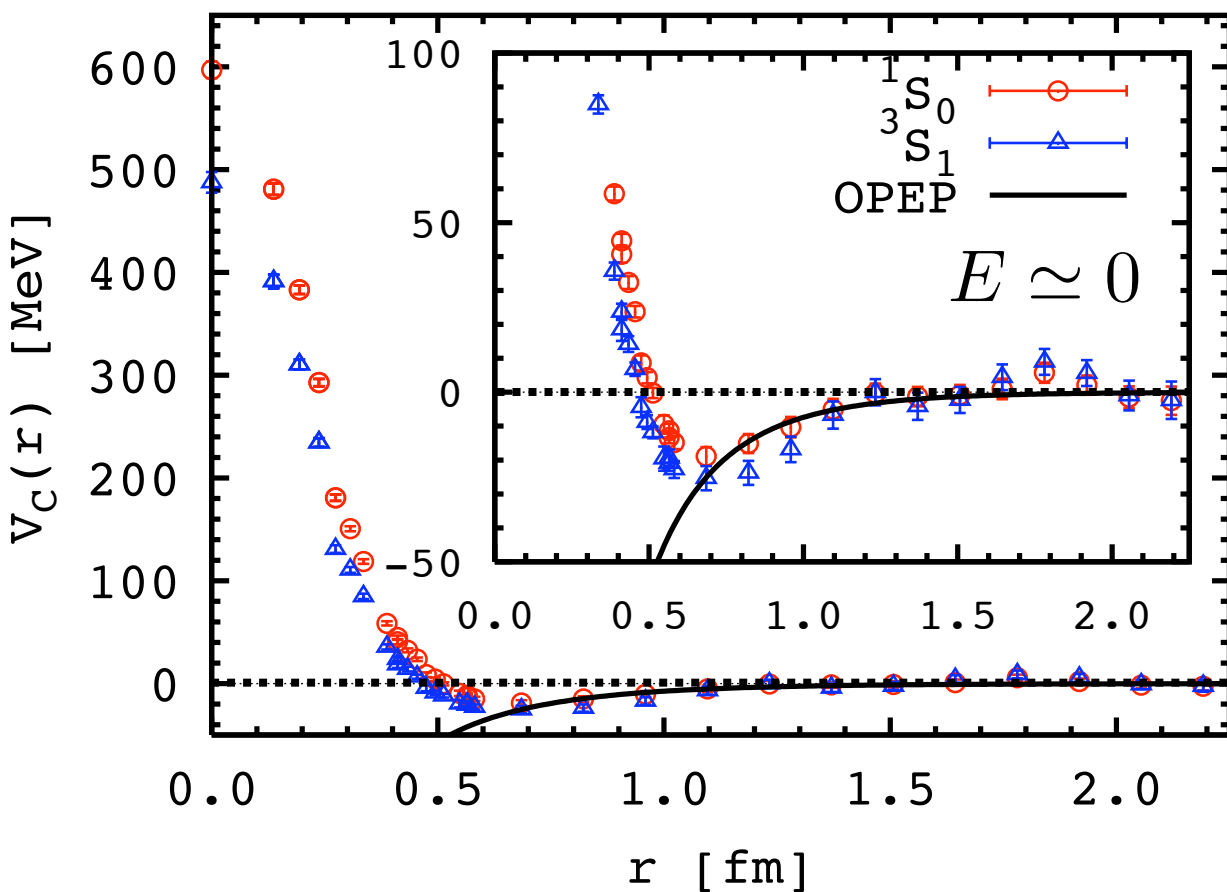
An “answer” by lattice QCD simulations

N. Ishii S. Aoki and T. Hatsuda, Phys.Rev.Lett. 90(2007)0022001

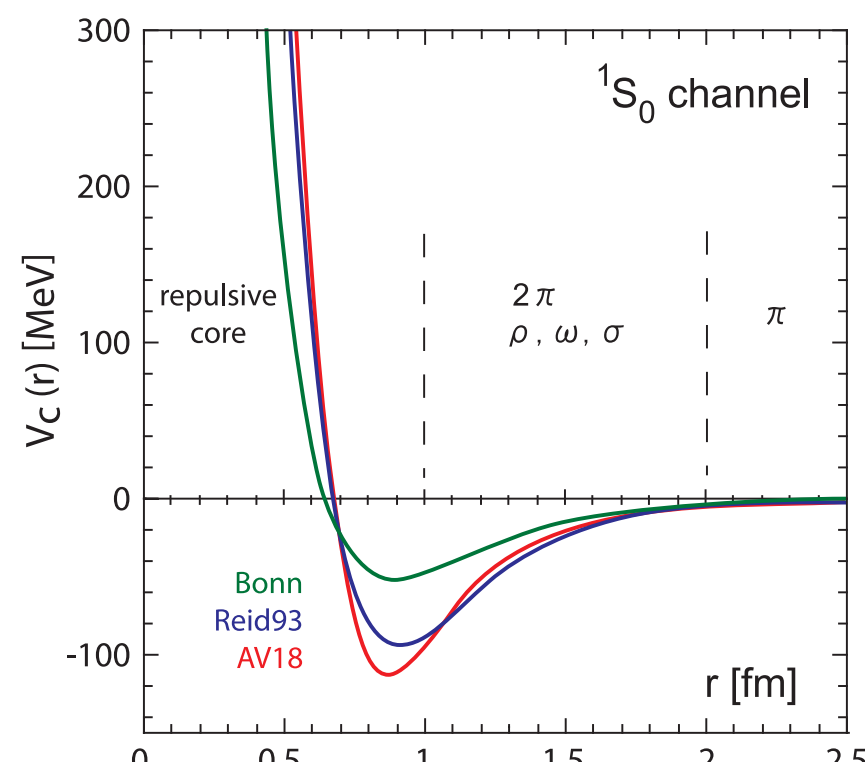
NN (effective) central potentials

Quenched QCD

$m_\pi \simeq 0.53$ GeV



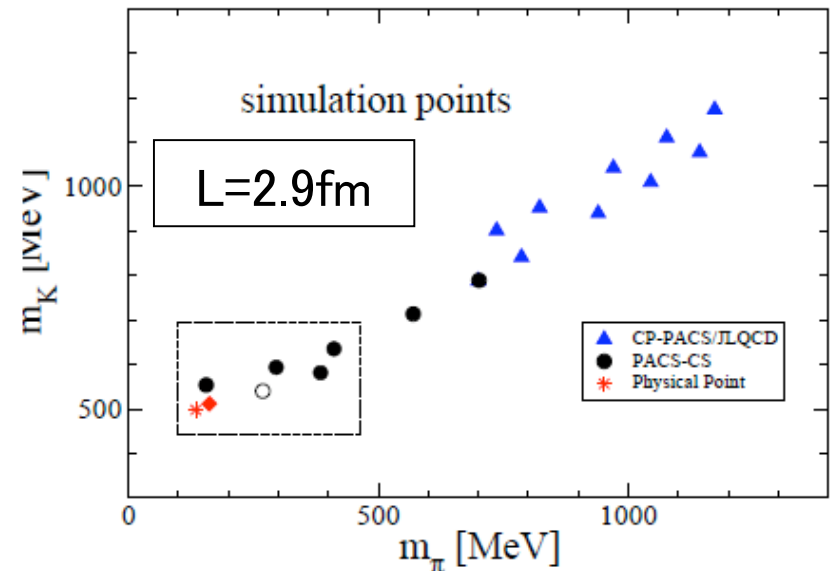
現象論的核力ポテンシャル



最終的な結果を得るにはFull QCDによる計算が必要！

2008年夏までに生成されていたゲージ配位

PACS-CS Collaborationが生成したゲージ配位
を用いて核力ポテンシャルを計算する



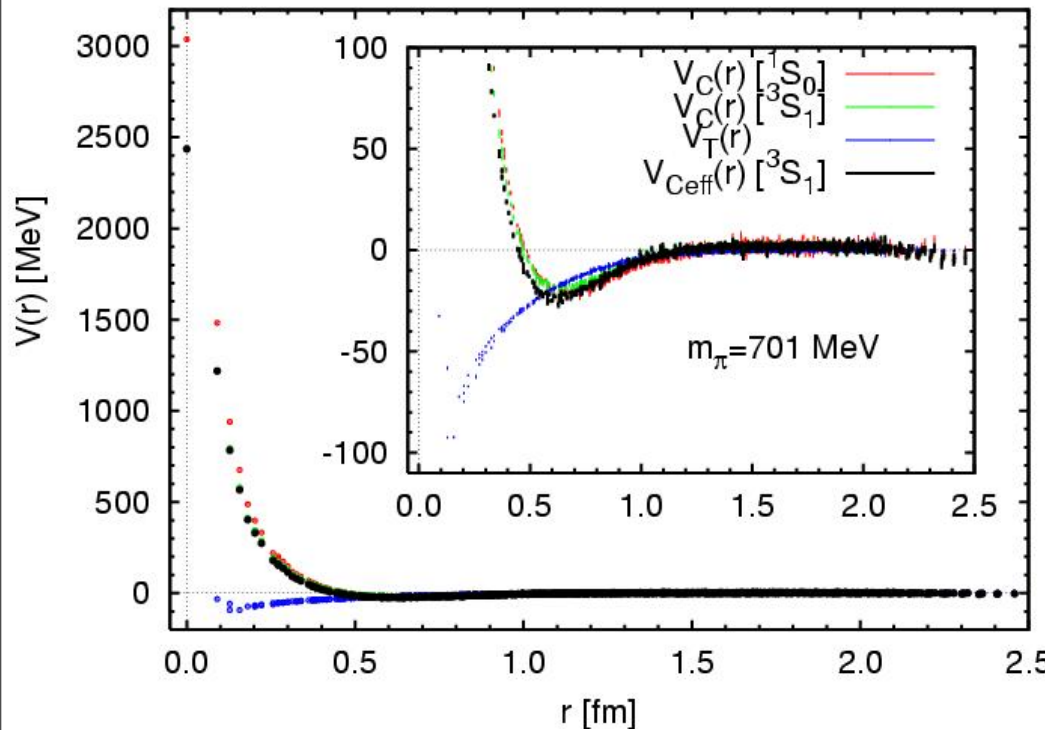
2009年4月前後に公開予定のゲージ配位

$\kappa_{ud} = 0.13700$ $\kappa_s = 0.13640$	Mpi=701 MeV	$L=2.9 \text{ fm}$
$\kappa_{ud} = 0.13727$ $\kappa_s = 0.13640$	Mpi=570 MeV	$L=2.9 \text{ fm}$
$\kappa_{ud} = 0.13754$ $\kappa_s = 0.13640$	Mpi=411 MeV	$L=2.9 \text{ fm}$
$\kappa_{ud} = 0.13754$ $\kappa_s = 0.13660$	Mpi=384 MeV	$L=2.9 \text{ fm}$
$\kappa_{ud} = 0.13770$ $\kappa_s = 0.13640$	Mpi=296 MeV	$L=2.9 \text{ fm}$
$\kappa_{ud} = 0.13781$ $\kappa_s = 0.13640$	Mpi=156 MeV	$L=2.9 \text{ fm}$

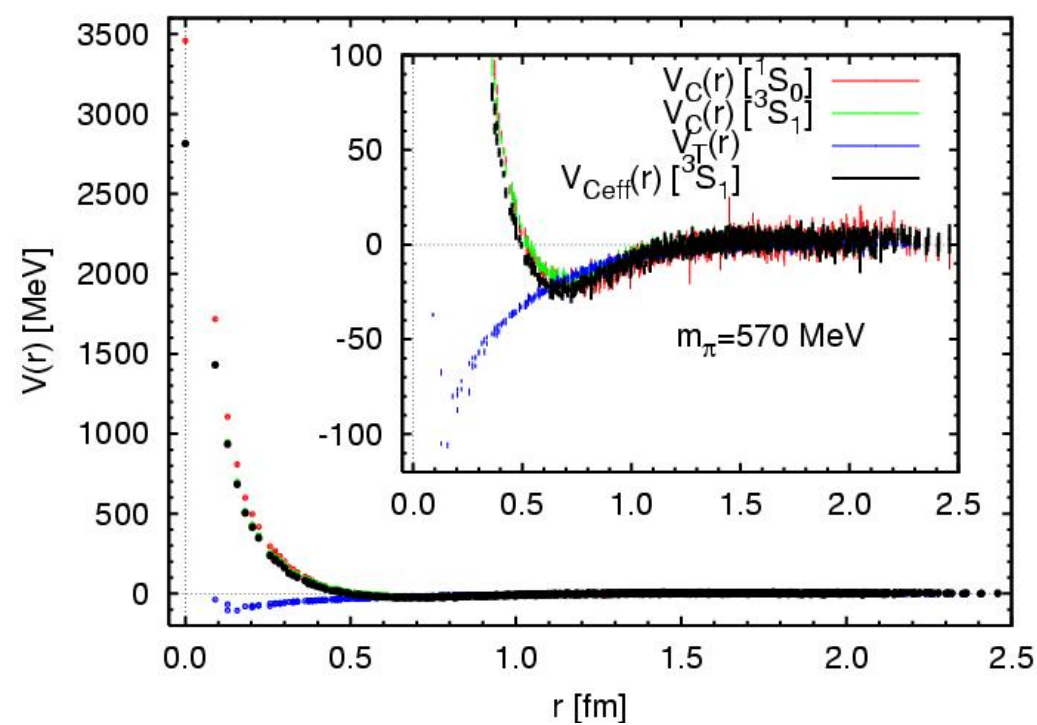
- 2008年度にほぼ計算が終了
- 2008年度にほぼ計算が終了
- 2009年度に計算予定
- 2009年度に計算予定
- △ 2008年度に一部の計算が終了
- 2009年度に計算予定

2008年度の成果 I. NN potential

$\kappa_{ud}=0.13700, \kappa_s=0.13640$
 $(m_{pi} \sim 702 \text{ MeV})$



$\kappa_{ud}=0.13727, \kappa_s=0.13640$
 $(m_{pi} \sim 570 \text{ MeV})$



- 中心力だけでなく、テンソル力も計算可能になった（テンソル力に斥力芯はないようだ）
- π 中間子の質量を軽くすると斥力芯も高くなるが、引力も少し深くなりその領域が広がっていく。

2008年度の成果 II. ΛN potential

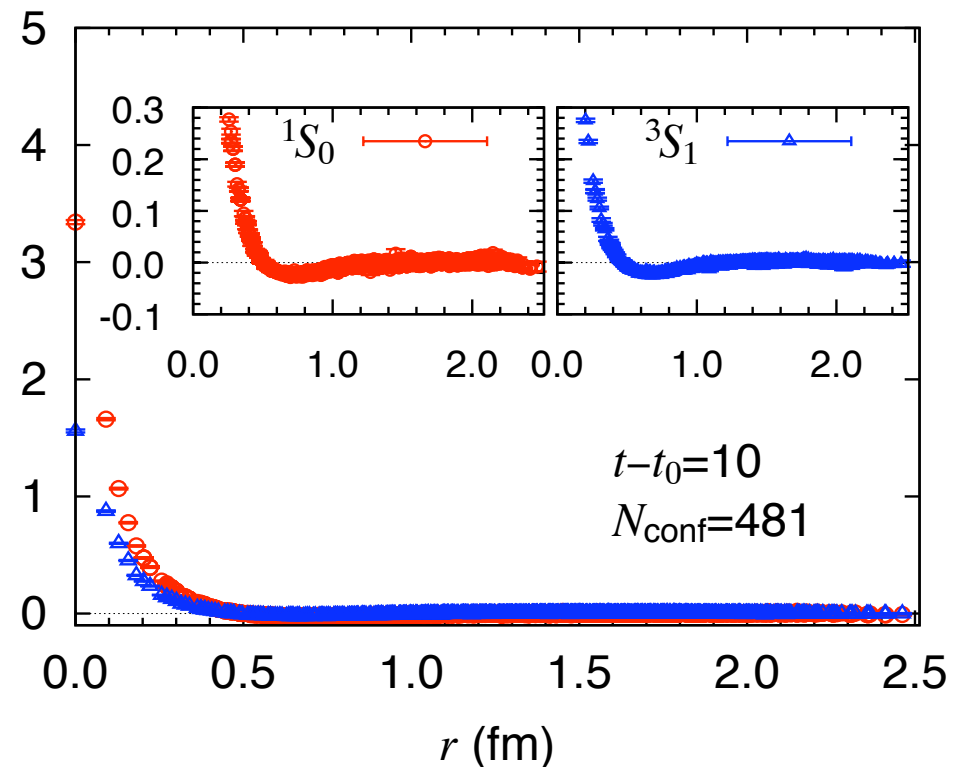
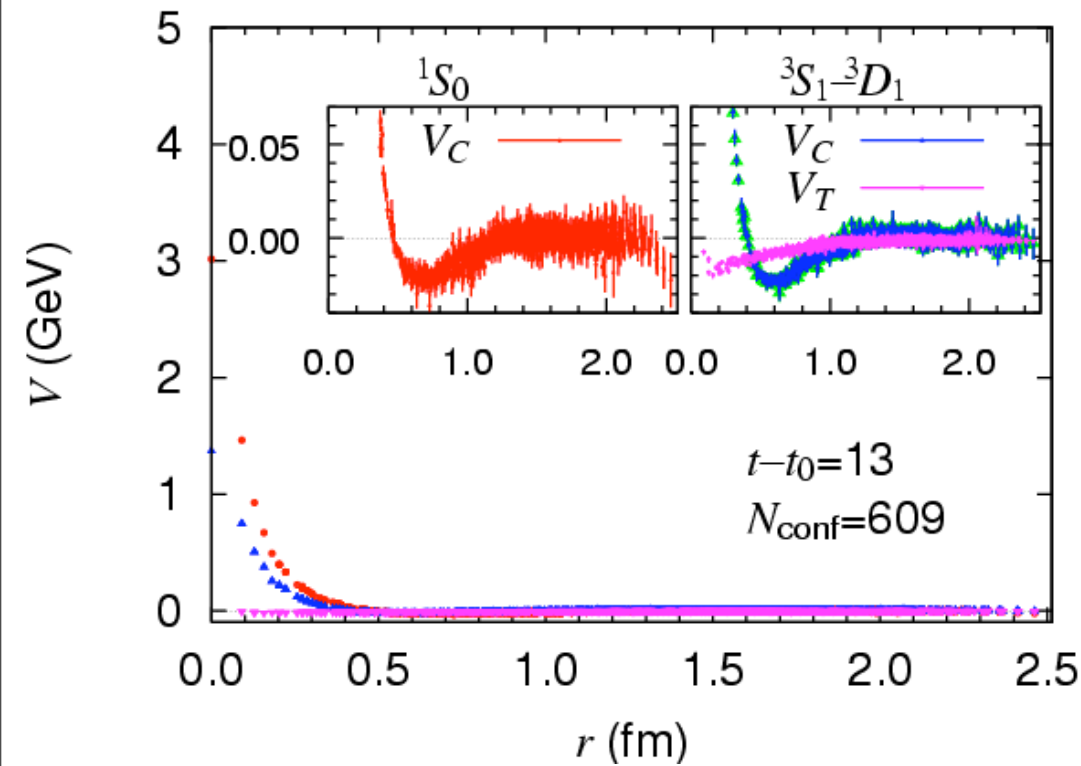
$$\kappa_{ud} = 0.1, \kappa_{ud} = 0.13700, \kappa_s = 0.13640$$

$(m_i \quad \quad (m_{pi} \sim 702 \text{ MeV})$

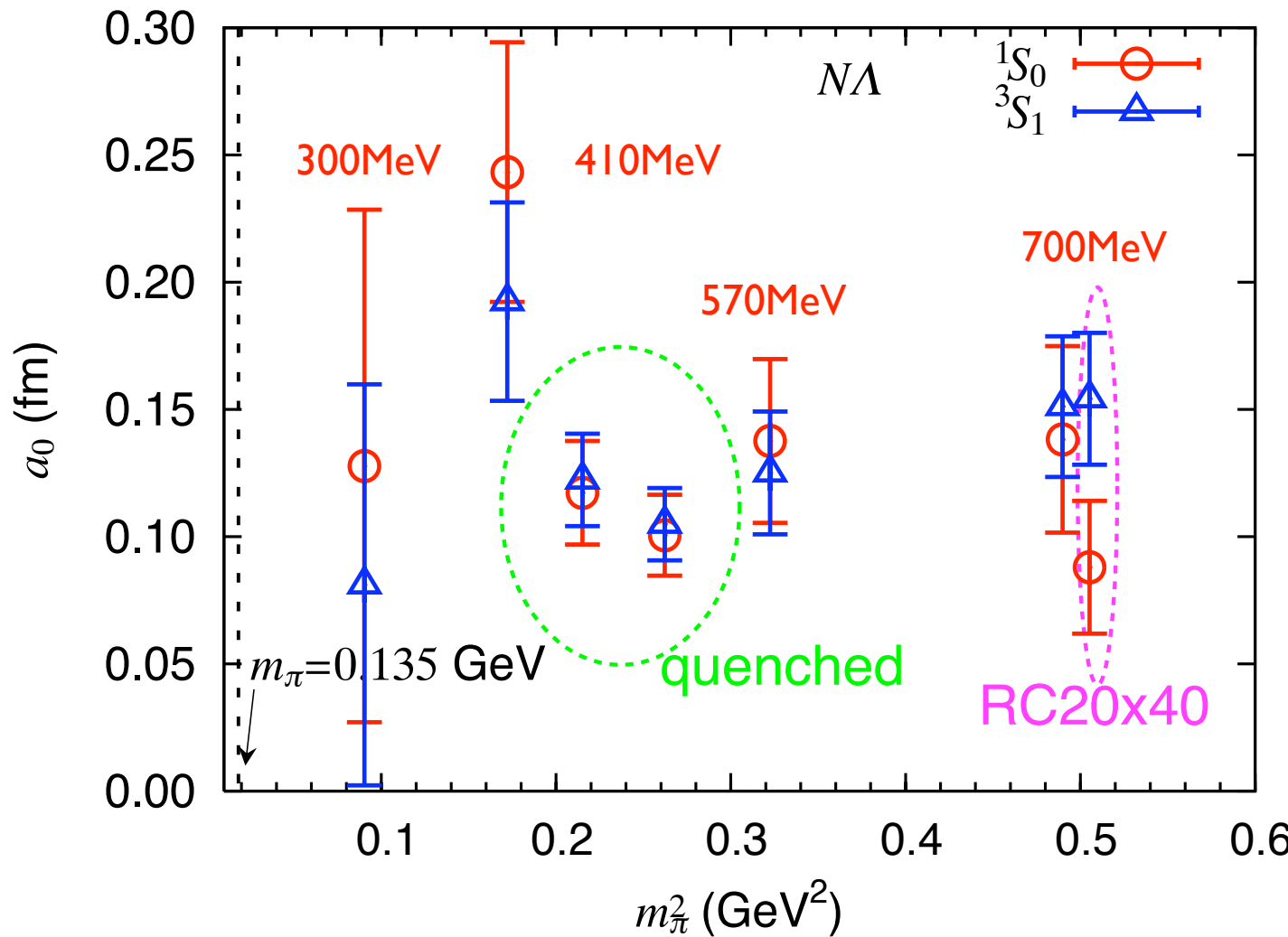
Λ : strange quarkを 1 つ含むバリオン

$$\kappa_{ud} = 0, \kappa_{ud} = 0.13727, \kappa_s = 0.13640$$

$(\pi \quad \quad (m_{pi} \sim 570 \text{ MeV})$



- 中心力、テンソル力が計算可能、振る舞いはNNと類似
- π 中間子の質量依存性を見るには統計を上げる必要有り。斥力芯は高くなっている



- full QCDの方が大きい
- π 中間子の質量を軽くすると増大傾向
- 実験値はないが、ハイパー核構造からの予想値は1-2fm程度

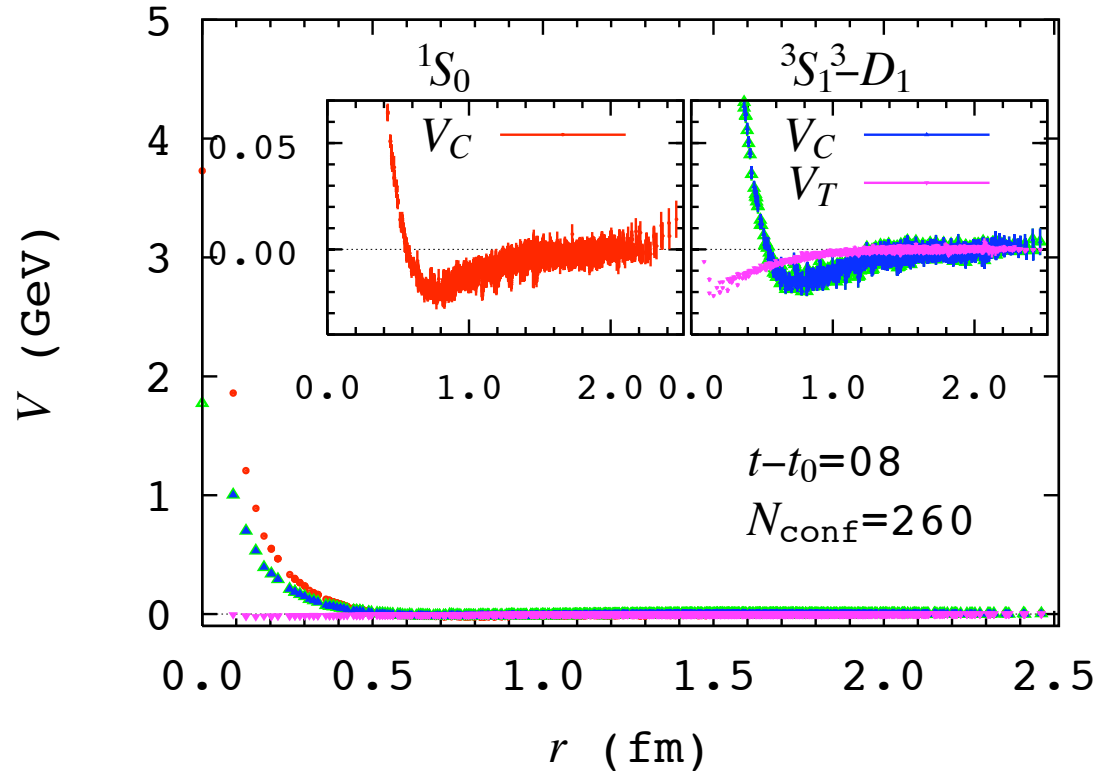
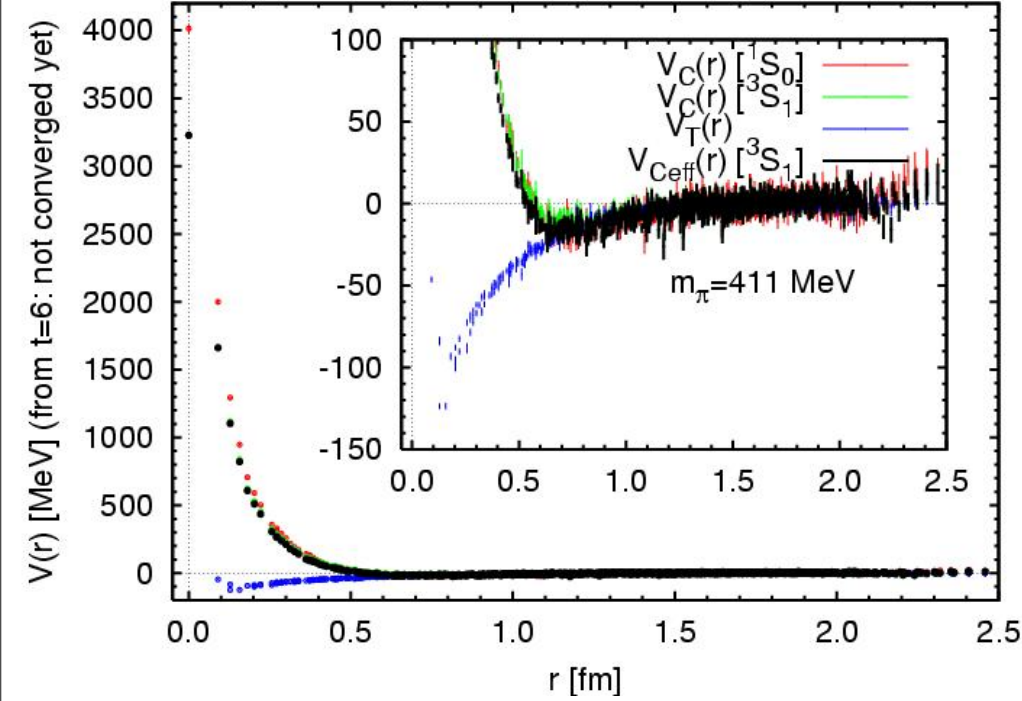
2009年度の課題

- π 中間子質量=700MeV, 570MeVの解析の完了
- 300MeVの統計を上げる
- 410MeV, 380MeVでの計算を行う
- ポテンシャルの π 中間子質量依存性の研究
- 散乱長の π 中間子質量依存性の研究
- 物理点での計算($L=3$ fm vs. 6 fm)

Present Status

$\kappa_{ud}=0.13754, \kappa_s=0.13640$
 $(m_{pi} \sim 411 \text{ MeV})$

Preliminary



NN

- 引力が外に広がっていくようだ。

AN